

ОПЕРАТОРНЫЙ МЕТОД РЕШЕНИЯ ЗАДАЧ О РАВНОВЕСИИ УПРУГОЙ, НЕОДНОРОДНОЙ, АНИЗОТРОПНОЙ ПЛИТЫ

Рассматривается плита единичной толщины, ограниченная двумя параллельными лицевыми плоскостями и боковой поверхностью Σ , которая может быть построена при движении отрезка нормального к срединной плоскости Σ_0 вдоль контура Γ , лежащего в этой плоскости. Материал плиты – упругий, анизотропный и неоднородный. Плита находится в равновесии под действием нагрузок, распределенных на лицевых поверхностях, и нагрузок на боковой поверхности. Нагрузки на боковой поверхности сводятся к усилиям и моментам, приложенным к контуру срединного сечения. В предлагаемой работе развит метод решения упругой задачи для плиты (или бесконечного слоя), одинаково пригодный, как для изотропной однородной или неоднородной плиты, так и для анизотропной однородной или неоднородной плиты. Метод основан на введении трех функций напряжений таким образом, чтобы удовлетворялись уравнения равновесия и граничные условия на лицевых плоскостях. Сами функции напряжений находятся из решения интегродифференциального операторного уравнения. Ниже, с помощью операторного метода, получены точные (в смысле Сен-Венана) аналитические решения целого класса элементарных задач о равновесии плиты. Решения некоторых задач из этого класса были известны ранее. Кроме этого в работе найдено точное аналитическое решение задачи о сжатии неоднородной по толщине плиты полиномиальной нагрузкой.

1. Постановка задачи. Начало системы координат $Ox_1x_2x_3$ расположим на срединной плоскости плиты, а ось x_3 направим по нормали к ней. Условимся далее, что индексы из малых символов принимают значения 1, 2, 3, а из больших – только 1 и 2. По повторяющимся индексам подразумевается суммирование в соответствующих пределах. Индекс после запятой обозначает производную по координате соответствующей значению индекса. Пусть $X_i(x_1, x_2, x_3)$ – компоненты вектора объемной нагрузки; $q_i^\pm(x_1, x_2)$ – компоненты вектора распределенных нагрузок на лицевых поверхностях $x_3 = \pm 1/2$.

Внутри области занятой плитой напряжения удовлетворяют уравнениям равновесия

$$\sigma_{IJ,J} + \sigma_{I3,3} + X_I = 0, \quad \sigma_{3J,J} + \sigma_{33,3} + X_3 = 0 \quad (1.1)$$

точным граничным условиям на лицевых поверхностях

$$\sigma_{i3}(x_1, x_2, \pm 1/2) = \pm q_i^\pm(x_1, x_2) \quad (1.2)$$

а на боковой поверхности вместо точных граничных условий $\sigma_{IJ}n_J|_\Sigma = P_i^0$ принимаются интегральные условия вида:

$$\int_{-1/2}^{1/2} \sigma_{IJ} dx_3 n_J|_\Gamma = T_I^0, \quad \int_{-1/2}^{1/2} \sigma_{3J} dx_3 n_J|_\Gamma = Q^0, \quad \int_{-1/2}^{1/2} x_3 \sigma_{IJ} dx_3 n_J|_\Gamma = M_I^0 \quad (1.3)$$

Кроме этого должны быть выполнены уравнения совместимости деформаций:

$$\epsilon_{\alpha ik} \epsilon_{\beta jl} \epsilon_{ij,kl} = 0 \quad \text{или} \quad \epsilon_{\alpha ik} \epsilon_{\beta jl} (J_{ijpq} \sigma_{pq})_{,kl} = 0 \quad (1.4)$$

где $\epsilon_{\alpha is}$ – символы Леви – Чивиты, $\Delta_{ijkl} = (\delta_{ik}\delta_{jl} + \delta_{ij}\delta_{kl})/2$ – компоненты единичного тензора четвертого ранга [1], J_{ijkl} – компоненты тензора податливостей материала плиты, имеющего в общем случае анизотропии 21 независимую компоненту. Эти компоненты предполагаются интегрируемыми функциями координат x_1, x_2, x_3 .

Пусть T_{IJ}, Q_I, M_{IJ} – внутренние силовые факторы, которые представляют из себя, соответственно, продольные усилия, перерезывающие силы и изгибающие моменты в срединной плоскости слоя, т.е.

$$\begin{aligned} T_{IJ}(x_1, x_2) &= \int_{-1/2}^{1/2} \sigma_{IJ}(x_1, x_2, x_3) dx_3, & Q_I(x_1, x_2) &= \int_{-1/2}^{1/2} \sigma_{3I}(x_1, x_2, x_3) dx_3 \\ M_{IJ}(x_1, x_2) &= \int_{-1/2}^{1/2} x_3 \sigma_{IJ}(x_1, x_2, x_3) dx_3 \end{aligned} \quad (1.5)$$

Предполагается, что величины T_{IJ}, Q_I, M_{IJ} являются известными функциями координат x_1, x_2 . Однако эти функции не произвольны, а должны удовлетворять следующим дифференциальным уравнениям в срединной поверхности Σ_0 :

$$T_{IJ,J} + t_I(x) = 0, \quad Q_{I,J} + t_3(x) = 0, \quad M_{IJ,J} - Q_I + m_I(x) = 0 \quad (x(x_1, x_2) \in \Sigma_0) \quad (1.6)$$

и условиям на контуре Γ :

$$T_{IJ} n_J|_{\Gamma} = T_I^0(y), \quad Q_I n_I|_{\Gamma} = Q^0(y), \quad M_{IJ} n_J|_{\Gamma} = M_I^0(y) \quad (y(y_1, y_2) \in \Gamma) \quad (1.7)$$

$$\begin{aligned} t_i(x_1, x_2) &= q_i^+(x_1, x_2) + q_i^-(x_1, x_2) + \int_{-1/2}^{1/2} X_i(x_1, x_2, x_3) dx_3 \\ m_I(x_1, x_2) &= \frac{1}{2} [q_I^+(x_1, x_2) - q_I^-(x_1, x_2)] + \int_{-1/2}^{1/2} x_3 X_I(x_1, x_2, x_3) dx_3 \end{aligned} \quad (1.8)$$

$$T_I^0 = \int_{-1/2}^{1/2} P_I^0(y, x_3) dx_3, \quad Q^0 = \int_{-1/2}^{1/2} P_3^0(y, x_3) dx_3, \quad M_I^0 = \int_{-1/2}^{1/2} x_3 P_I^0(y, x_3) dx_3$$

Здесь $P_i^0(y_1, y_2, y_3)$ – реальные нагрузки на боковой поверхности плиты. Уравнения (1.6) получаются из уравнений равновесия, если последние умножить на x_3^k ($k = 0, 1$), проинтегрировать по толщине плиты и воспользоваться граничными условиями (1.2). Условия (1.7) следуют из интегральных условий (1.3) и обозначений (1.5).

Таким образом задача заключается в том, чтобы найти поле напряжений σ_{ij} , удовлетворяющее внутри области занятой плитой уравнениям равновесия (1.1), на лицевых поверхностях – граничным условиям (1.2). Кроме этого напряжения должны удовлетворять интегральным условиям (1.5) при заданных T_{IJ}, Q_I, M_{IJ} , подчиняющихся уравнениям (1.6) и (1.7), а деформации должны удовлетворять уравнениям совместности (1.4).

Ясно, что задача (1.1)–(1.7) имеет не единственное решение. При этом два различных решения могут существенно различаться лишь в районе боковой границы плиты, где реальные нагрузки заменяются результирующими силами и моментами, приложенными к контуру срединной поверхности плиты.

Заметим, что внутренние силовые факторы, достаточно просто, могут быть найдены по теории пластин [2]. Более сложной проблемой является решение задачи теории упругости для плиты при точном удовлетворении граничным условиям на лицевых поверхностях и интегральном удовлетворении условиям на боковой поверхности. Особенно возрастают трудности в тех случаях, когда материал плиты является анизотропным [3], или неоднородным [4], или одновременно анизотропным и неоднородным. В литературе давно известны случаи, когда сведение исходной задачи к решению интегродифференциальных уравнений позволяет находить более быстрые способы решения конкретных задач МТТ [5].

2. Функции напряжений. Из уравнений равновесия выразим напряжения σ_{I3} через напряжения σ_{IJ} :

$$\sigma_{I3} = -\sigma_{IJ,J}^{(-1)} + r_I, \quad \sigma_{33} = \sigma_{IJ,IJ}^{(-2)} + r_3 \quad (2.1)$$

$$r_I = -X_I^{(-1)} - q_I^-, \quad r_3 = X_{I,I}^{(-2)} - X_3^{(1)} + (x_3 + 1/2)q_{I,I}^- - q_3^- \quad (2.2)$$

$$\varphi^{(-n)}(x_3) \equiv \int_{-1/2}^{x_3} dy_1 \int_{-1/2}^y dy_2 \dots dy_{n-1} \int_{-1/2}^{y_{n-1}} \varphi(y) dy = \int_{-1/2}^{x_3} \frac{(x_3 - y)^{n-1}}{(n-1)!} \varphi(y) dy \quad (2.3)$$

Напряжения (2.1) удовлетворяют граничным условиям на лицевых плоскостях плиты, если только выполнены уравнения (1.6). Введем три функции напряжений F_{11} , $F_{12} = F_{21}$, F_{22} и положим, что

$$\sigma_{IJ} = F_{IJ}, \quad \sigma_{I3} = -F_{IJ,J}^{(-1)} + r_I, \quad \sigma_{33} = F_{IJ,IJ}^{(-2)} + r_3 \quad (2.4)$$

Таким образом удастся выразить шесть компонент тензора напряжений через три функции напряжений, удовлетворив при этом уравнениям равновесия и граничным условиям на лицевых поверхностях плиты. Интегральные граничные условия (1.3) будут выполнены, если внутренние силовые факторы удовлетворяют уравнениям (1.6), (1.7), а функции напряжений F_{IJ} таковы, что

$$\langle F_{IJ}(x_1, x_2, x_3) \rangle = T_{IJ}(x_1, x_2), \quad \langle x_3 F_{IJ}(x_1, x_2, x_3) \rangle = M_{IJ}(x_1, x_2) \quad (2.5)$$

Угловые скобки обозначают среднее значение функции по координате x_3 , т.е.

$$\langle f(x_1, x_2, x_3) \rangle \equiv \int_{-1/2}^{1/2} f(x_1, x_2, x_3) dx_3$$

3. Уравнения для функций напряжений. Из закона Гука по напряжениям (2.4) найдем деформации

$$\varepsilon_{ij} = J_{ijkl} F_{KL} - 2J_{ijk3} F_{KL,L}^{(-1)} + J_{ij33} F_{KL,KL}^{(-2)} + 2J_{ijk3} r_K + J_{ij33} r_3 \quad (3.1)$$

Учитывая, что $\varepsilon_{33} = u_{3,3}$ и $\varepsilon_{I3} = (u_{I,3} + u_{3,I})/2$ из (3.1) найдем перемещения u_3 и u_I :

$$u_3 = [J_{33KL} F_{KL} - 2J_{33K3} F_{KL,L}^{(-1)} + J_{3333} F_{KL,KL}^{(-2)}]^{(-1)} + [2J_{33K3} r_K + J_{3333} r_3]^{(-1)} + f_3(x_1, x_2) \quad (3.2)$$

$$\begin{aligned}
 u_I = & 2[J_{I3KL}F_{KL} - 2J_{I3K3}F_{KL,L}^{(-1)} + J_{I333}F_{KL,KL}^{(-2)}]^{(-1)} - \\
 & - [J_{33KL}F_{KL} - 2J_{33K3}F_{KL,L}^{(-1)} + J_{3333}F_{KL,KL}^{(-2)}]_I^{(-2)} + \\
 & + 2[2J_{I3K3}r_K + J_{I333}r_3]^{(-1)} - [2J_{33K3}r_K + J_{3333}r_3]_I^{(-2)} - \\
 & - x_3 f_{3,I}(x_1, x_2) + f_I(x_1, x_2)
 \end{aligned} \tag{3.3}$$

По перемещениям u_I из (3.3) найдем компоненты ϵ_{IJ} тензора деформаций и сравним то, что получилось, с выражениями для ϵ_{IJ} из (3.1). Далее из найденного соотношения выразим F_{IJ} . В результате для F_{IJ} получится операторное уравнение, в которое входят неизвестные функции $f_i(x_1, x_2)$. Эти функции найдем из условий (2.5), накладываемых на функции напряжений. Получим, что $f_i(x_1, x_2)$ должны быть таковы, чтобы

$$\begin{aligned}
 2\Delta_{IJKL}f_{K,L} = & \alpha_{IJKL}^{-1} \{ \langle x_3^2 J_{KLPQ}^{-1} \rangle [T_{PQ} - \langle R_{PQ} + \mathbf{L}F_{PQ} \rangle] - \\
 & - \langle x_3 J_{KLPQ}^{-1} \rangle [M_{PQ} - \langle x_3 (R_{PQ} + \mathbf{L}F_{PQ}) \rangle] \}
 \end{aligned} \tag{3.4}$$

$$\begin{aligned}
 f_{3,IJ} = & \alpha_{IJKL}^{-1} \{ \langle x_3 J_{KLPQ}^{-1} \rangle [T_{PQ} - \langle R_{PQ} + \mathbf{L}F_{PQ} \rangle] - \\
 & - \langle J_{KLPQ}^{-1} \rangle [M_{PQ} - \langle x_3 (R_{PQ} + \mathbf{L}F_{PQ}) \rangle] \}
 \end{aligned} \tag{3.5}$$

Здесь \mathbf{L} – интегродифференциальный оператор

$$\begin{aligned}
 \mathbf{L}F_{IJ} \equiv \mathbf{L}(F_{IJ}) = & J_{IJKL}^{-1} \{ 2J_{KLP3}F_{PQ,Q}^{(-1)} - J_{KL33}F_{PQ,PQ}^{(-2)} + \\
 & + 2\Delta_{KLST} [J_{S3PQ}F_{PQ} - 2J_{S3P3}F_{PQ,Q}^{(-1)} + J_{S333}F_{PQ,PQ}^{(-2)}]_{,T}^{(-1)} - \\
 & - [J_{33PQ}F_{PQ} - 2J_{33P3}F_{PQ,Q}^{(-1)} + J_{3333}F_{PQ,PQ}^{(-2)}]_{,KL}^{(-2)} \}
 \end{aligned} \tag{3.6}$$

$$\begin{aligned}
 R_{IJ} = & J_{IJKL}^{-1} \{ -(2J_{KLP3}r_P + J_{KL33}r_3) + \\
 & + 2\Delta_{KLST} (2J_{S3P3}r_P + J_{S333}r_3)_{,T}^{(-1)} - (2J_{33P3}r_P + J_{3333}r_3)_{,KL}^{(-2)} \}
 \end{aligned} \tag{3.7}$$

$$\alpha_{IJKL} = \langle J_{IJPQ}^{-1} \rangle \langle x_3^2 J_{PQKL}^{-1} \rangle - \langle x_3 J_{IJPQ}^{-1} \rangle \langle x_3 J_{PQKL}^{-1} \rangle \tag{3.8}$$

Через J_{IJKL}^{-1} обозначены компоненты матрицы обратной к матрице J_{IJKL} , т.е.

$$(J_{IJKL}^{-1}) = \left\| \begin{array}{ccc} J_{1111} & J_{1122} & J_{1112} \\ J_{2211} & J_{2222} & J_{2212} \\ J_{1211} & J_{1222} & J_{1212} \end{array} \right\|^{-1}$$

Оператор \mathbf{L} линейный, т.е., если m и n константы, а f_1 и f_2 функции, то $\mathbf{L}(mf_1 + nf_2) = m\mathbf{L}(f_1) + n\mathbf{L}(f_2)$. Применение оператора \mathbf{L} к произведению функций $\Phi_{IJ}(x_1, x_2, x_3)f(x_1, x_2)$ дает

$$\mathbf{L}[\Phi_{IJ}(x_1, x_2, x_3)f(x_1, x_2)] = \mathbf{L}(\Phi_{IJ})f + \sum_{k=1}^4 L_{I_1 \dots I_k}(\Phi_{IJ})f_{,I_1 \dots I_k} \tag{3.9}$$

$$\begin{aligned} L_{I_1}(\Phi_{IJ}) = & 2J_{IJKL} \left\{ J_{KLP_3} \Phi_{PI_1}^{(-1)} - J_{KL33} \Phi_{PI_1, P}^{(-2)} - 2\Delta_{KLS T} [J_{S3P_3} \Phi_{PI_1}^{(-1)} - J_{S333} \Phi_{PI_1, P}^{(-2)}]_{,T}^{(-1)} + \right. \\ & + [J_{33P_3} \Phi_{PI_1}^{(-1)} - J_{3333} \Phi_{PI_1, P}^{(-2)}]_{,KL}^{(-2)} + \Delta_{KLSI_1} [J_{S3PQ} \Phi_{PQ} - 2J_{S3P_3} \Phi_{PQ, Q}^{(-1)} + J_{S333} \Phi_{PQ, PQ}^{(-2)}]^{(-1)} - \\ & \left. - \Delta_{KLSI_1} [J_{33PQ} \Phi_{PQ} - 2J_{33P_3} \Phi_{PQ, Q}^{(-1)} + J_{3333} \Phi_{PQ, PQ}^{(-2)}]_{,S}^{(-2)} \right\} \end{aligned} \quad (3.10)$$

$$\begin{aligned} L_{I_1 I_2}(\Phi_{IJ}) = & J_{IJKL} \left\{ -J_{KL33} \Phi_{I_1 I_2}^{(-2)} + 2\Delta_{KLS T} [J_{S333} \Phi_{I_1 I_2}^{(-2)}]_{,T}^{(-1)} - [J_{3333} \Phi_{I_1 I_2}^{(-2)}]_{,KL}^{(-2)} - \right. \\ & - 4\Delta_{KLS T} [J_{S3P_3} \Phi_{PQ}^{(-1)} + J_{S333} \Phi_{PQ, P}^{(-2)}]^{(-1)} \Delta_{QT I_1 I_2} + \\ & + 4\Delta_{KLS T} [J_{33P_3} \Phi_{PQ}^{(-1)} + J_{3333} \Phi_{PQ, P}^{(-2)}]_{,S}^{(-2)} \Delta_{QT I_1 I_2} - \\ & \left. - \Delta_{KLI_1 I_2} [J_{33PQ} \Phi_{PQ} - 2J_{33P_3} \Phi_{PQ, Q}^{(-1)} + J_{3333} \Phi_{PQ, PQ}^{(-2)}]^{(-2)} \right\} \end{aligned} \quad (3.11)$$

$$\begin{aligned} L_{I_1 I_2 I_3}(\Phi_{IJ}) = & 2J_{IJKL} \left\{ \Delta_{KLSI_1} \left[(J_{S333} \Phi_{I_2 I_3}^{(-2)})^{(-1)} - (J_{3333} \Phi_{I_2 I_3}^{(-2)})_{,S}^{(-2)} \right] + \right. \\ & \left. + [J_{33P_3} \Phi_{PI_1}^{(-1)} - J_{3333} \Phi_{PI_1, P}^{(-2)}]^{(-2)} \Delta_{KLI_2 I_3} \right\} \end{aligned} \quad (3.12)$$

$$L_{I_1 I_2 I_3 I_4}(\Phi_{IJ}) = -J_{I_1 I_2 I_3 I_4} [J_{3333} \Phi_{I_3 I_4}^{(-2)}]^{(-2)} \quad (3.13)$$

По подчеркнутым индексам подразумевается полная симметризация, например

$$f_i \underline{F}_{jk} = 1/3(f_i F_{jk} + f_k F_{ij} + f_j F_{ki}) \quad \text{при} \quad F_{jk} = F_{kj}$$

$$f_{ij} \underline{F}_{kl} = 1/4(f_{ij} F_{kl} + f_{il} F_{jk} + f_{kl} F_{ij} + f_{jk} F_{li}) \quad \text{при} \quad f_{ij} = f_{ji}, \quad F_{kl} = F_{lk}$$

Если материал плиты неоднороден только по толщине, т.е. компоненты тензора податливостей являются функциями только координаты x_3 и при этом $\Phi_{IJ} = \Phi_{IJ}(x_3)$, тогда

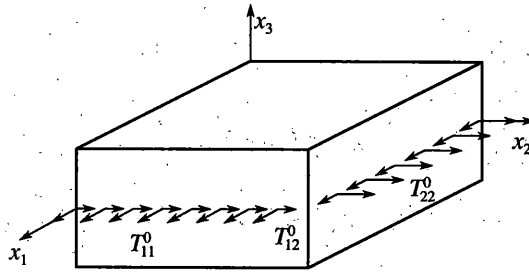
$$L(\Phi_{IJ}) = 0 \quad (3.14)$$

$$L_{I_1}(\Phi_{IJ}) = 2J_{IJKL} \{ J_{KLP_3} \Phi_{PL_1}^{(-1)} + \Delta_{KLSI_1} (J_{S3PQ} \Phi_{PQ})^{(-1)} \} \quad (3.15)$$

$$\begin{aligned} L_{I_1 I_2}(\Phi_{IJ}) = & \\ = & J_{IJKL} \left\{ -J_{KL33} \Phi_{I_1 I_2}^{(-2)} - 4\Delta_{KLS T} (J_{S3P_3} \Phi_{PQ}^{(-1)})^{(-1)} \Delta_{QT I_1 I_2} - \Delta_{KLI_1 I_2} (J_{33PQ} \Phi_{PQ})^{(-2)} \right\} \end{aligned} \quad (3.16)$$

$$L_{I_1 I_2 I_3}(\Phi_{IJ}) = 2J_{IJKL} \left\{ \Delta_{KLSI_1} (J_{S333} \Phi_{I_2 I_3}^{(-2)})^{(-1)} + (J_{33P_3} \Phi_{PI_1}^{(-1)})^{(-2)} \Delta_{KLI_2 I_3} \right\} \quad (3.17)$$

$$L_{I_1 I_2 I_3 I_4}(\Phi_{IJ}) = -J_{I_1 I_2 I_3 I_4} (J_{3333} \Phi_{I_3 I_4}^{(-2)})^{(-2)} \quad (3.18)$$



Фиг. 1

Окончательно операторное уравнение для функций напряжений F_{IJ} примет вид

$$F_{IJ} = F_{IJ}^0 + \mathbf{AL}(F_{IJ}) \quad (3.19)$$

$$F_{IJ}^0 = f_{IJKL}T_{KL} + g_{IJKL}M_{KL} + \mathbf{A}(R_{IJ})$$

где F_{IJ}^0 – заданные функции координат x_1, x_2, x_3 определяемые функциональными зависимостями внешних нагрузок и внутренних силовых факторов от координат и функциональными зависимостями компонент тензора податливостей от координат, \mathbf{A} – линейный оператор

$$\mathbf{A}(R_{IJ}) = R_{IJ} - f_{IJKL}\langle R_{KL} \rangle - g_{IJKL}\langle x_2 R_{KL} \rangle \quad (3.20)$$

Функции f_{IJKL} и g_{IJKL} выражаются через компоненты тензора податливостей следующим образом:

$$f_{IJKL} = \alpha_{IJPQ}^{-1} J_{PQMN}^{-1} [\langle x_3^2 J_{MNKL}^{-1} \rangle - x_3 \langle x_3 J_{MNKL}^{-1} \rangle] \Rightarrow \langle f_{IJKL} \rangle = \Delta_{IJKL}, \langle x_3 f_{IJKL} \rangle = 0 \quad (3.21)$$

$$g_{IJKL} = \alpha_{IJPQ}^{-1} J_{PQMN}^{-1} [x_3 \langle J_{MNKL}^{-1} \rangle - \langle x_3 J_{MNKL}^{-1} \rangle] \Rightarrow \langle g_{IJKL} \rangle = 0, \langle x_3 f_{IJKL} \rangle = \Delta_{IJKL} \quad (3.22)$$

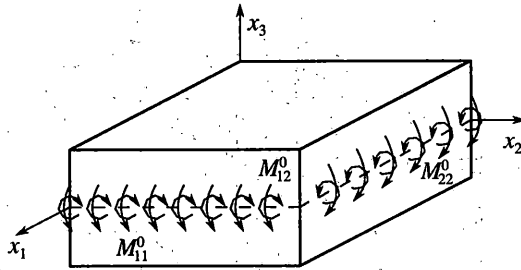
4. Класс элементарных задач о равновесии плиты. Оператор \mathbf{L} является дифференциальным оператором по координатам x_1, x_2 , поэтому для неоднородной по толщине плиты $\mathbf{L}F_{IJ}(x_3) \equiv 0$. Отсюда следует, что если плита неоднородна по толщине и $F_{IJ}^0 = F_{IJ}^0(x_3)$,

то решением операторного уравнения (3.19) будет функция $F_{IJ} = F_{IJ}^0(x_3)$. Этот случай сразу дает нам точное аналитическое решение целого класса элементарных задач о равновесии неоднородной по толщине анизотропной плиты. Решения четырех задач из этого класса приведены ниже.

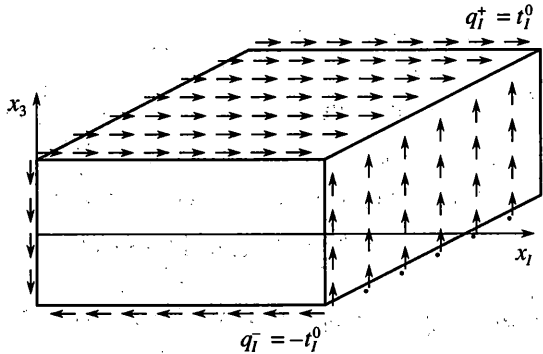
4.1. Растяжение и сдвиг плиты силами, лежащими в ее срединной плоскости. Пусть лицевые поверхности прямоугольной плиты свободны от нагрузок, а на торцевых плоскостях действуют нагрузки, приводящиеся к одинаковым по величине и противоположно направленным постоянным усилиям T_{IJ}^0 , распределенным вдоль границы срединной плоскости (фиг. 1). Таким образом плита растягивается усилиями T_{11}^0 и T_{22}^0 .

Кроме этого плита сдвигается касательными усилиями $T_{12}^0 = T_{21}^0$. В этом случае

$$F_{IJ} = F_{IJ}^0 = f_{IJKL}(x_3)T_{KL}^0 \Rightarrow \sigma_{IJ} = F_{IJ}, \quad \sigma_{i3} = 0 \quad (4.1)$$



Фиг. 2



Фиг. 3

4.2. *Изгиб прямоугольной плиты моментами.* Пусть на торцах пластины нагрузки статически эквивалентны постоянным изгибающим моментам M_{IJ}^0 , равномерно распределенным вдоль граничного контура срединной плоскости (фиг. 2). В этом случае

$$F_{IJ} = F_{IJ}^0 = g_{IJKL}(x_3)M_{KL}^0 \Rightarrow \sigma_{IJ} = F_{IJ}, \quad \sigma_{i3} = 0 \quad (4.2)$$

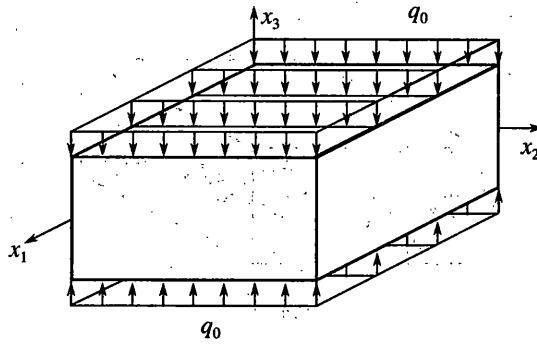
4.3. *Сдвиг неоднородного по толщине анизотропного слоя.* Прямоугольный слой (плита) деформируется равными по величине и противоположно направленными постоянными касательными нагрузками распределенными по лицевым и торцевым плоскостям (фиг. 3).

В этом случае $q_1^+ = t_1^0 = \text{const}$, $q_1^- = -t_1^0$. Из внутренних силовых факторов отличны от нуля только перерезывающие усилия, т.е. $T_{IJ} = 0$, $M_{IJ} = 0$, $Q_I = t_I^0$. Из (2.2) найдем $r_I = t_I^0$, $r_3 = 0$, а из (3.7) $R_{IJ} = -2J_{IJKL}^{-1} J_{KLP3} t_P^0$, следовательно

$$F_{IJ} = -2[J_{IJKL}^{-1} J_{KLP3} - f_{IJKL} \langle J_{KLMN}^{-1} J_{MNP3} \rangle - g_{IJKL} \langle x_3 J_{KLMN}^{-1} J_{MNP3} \rangle] t_P^0 \quad (4.3)$$

$$\sigma_{IJ} = F_{IJ}, \quad \sigma_{i3} = t_i^0, \quad \sigma_{33} = 0$$

4.4. *Поперечное сжатие (растяжение) неоднородного по толщине анизотропного слоя постоянной нагрузкой.* В этой задаче предполагается, что все внешние нагрузки



Фиг. 4

нулевые, кроме равномерной сжимающей нагрузки величины q_0 на лицевых плоскостях, т.е. $q_3^+ = -q_0 = \text{const}$, $q_3^- = q_0$ (Фиг. 4).

Очевидно, что все внутренние силовые факторы T , Q , M равны нулю. По формулам (2.2) и (3.7) найдем $r_1 = 0$; $r_3 = -q_0$, $R_{IJ} = J_{IJKL}^{-1} J_{KL33} q_0$, следовательно

$$F_{IJ} = [J_{IJKL}^{-1} J_{KL33} - f_{IJKL} \langle J_{KLMN}^{-1} J_{MN33} \rangle - g_{IJKL} \langle x_3 J_{KLMN}^{-1} J_{MN33} \rangle] q_0$$

$$\sigma_{IJ} = F_{IJ}, \quad \sigma_{I3} = 0, \quad \sigma_{33} = -q_0 \quad (4.4)$$

5. Поперечное сжатие (растяжение) плиты полиномиальной распределенной нагрузкой.

$$q(x_1, x_2) = q_0 + q_1 x_1 + q_{IJ} x_I x_J + \dots = q_0 + \sum_{n=1}^N q_{I_1 \dots I_n} x_{I_1} \dots x_{I_n}$$

В этом случае $X_1 \equiv 0$, $q_1^{\pm} \equiv 0$, $q_2^- = q(x_1, x_2)$, $q_2^+ = -q(x_1, x_2)$. Очевидно, что $T \equiv 0$ и $M \equiv 0$. По формулам (2.2) и (3.7) найдем $r_1 = 0$, $r_3 = -q(x_1, x_2)$:

$$R_{IJ} = a_{IJ} q + a_{IJK} q_{,K} + a_{IJKL} q_{,KL}$$

$$a_{IJ} = J_{IJKL}^{-1} [J_{KL33} - 2\Delta_{KLS T} J_{S333, T}^{(-1)} + J_{3333, KL}^{(-2)}] \quad (5.1)$$

$$a_{IJK} = -2J_{IJSK}^{-1} [J_{S333}^{(-1)} - J_{3333, S}^{(-2)}], \quad a_{IJKL} = J_{IJKL}^{-1} J_{3333}^{(-2)}$$

Отсюда и из (3.20) будем иметь

$$F_{IJ}^0 = A(a_{IJ})q + A(a_{IJK})q_{,K} + A(a_{IJKL})q_{,KL} \quad (5.2)$$

Решение операторного уравнения (3.19) будем искать в виде суммы

$$F_{IJ} = F_{IJ}^0 + \sum_{n=0}^N \Phi_{I_1 I_2 \dots I_n}(x_1, x_2, x_3) q_{,I_1 \dots I_n} \quad (5.3)$$

Подставим (5.3) в уравнение (3.19) и воспользуемся правилом (3.9). В результате получим рекуррентные уравнения для неизвестных коэффициентов $\Phi_{IJ_1 \dots I_n}$:

$$\begin{aligned} \Phi_{IJ} &= \mathbf{AL}[A(a_{IJ})] + \mathbf{AL}(\Phi_{IJ}) \\ \Phi_{IJ_1 \dots I_n} &= \mathbf{AL}[A(a_{IJ_1 \dots I_n})] + \sum_{k=1}^4 \mathbf{AL}_{I_1 \dots I_k}[A(a_{IJ_{k+1} \dots I_n}) + \Phi_{IJ_{k+1} \dots I_n}] + \\ &+ \mathbf{AL}(\Phi_{IJ_1 \dots I_n}) \quad \text{при } n \geq 1 \end{aligned} \quad (5.4)$$

Если полоса неоднородна по ширине, то $\Phi_{IJ_1 \dots I_n} = \Phi_{IJ_1 \dots I_n}(x_3)$. В этом случае результат применения оператора \mathbf{L} к функции, зависящей от x_3 , равен нулю, поэтому вместо предыдущих уравнений получим следующие:

$$\begin{aligned} \Phi_{IJ} &= 0 \\ \Phi_{IJ_1 \dots I_n} &= \sum_{k=1}^4 \mathbf{AL}_{I_1 \dots I_k}[A(a_{IJ_{k+1} \dots I_n}) + \Phi_{IJ_{k+1} \dots I_n}], \quad (n \geq 1) \end{aligned} \quad (5.5)$$

5.1. *Случай изотропной плиты и квадратичного полинома $q(x_1, x_2) = q_0 + q_1 x_1 + q_{12} x_1 x_2$.* В этом случае

$$J_{ijkl} = -\frac{\nu}{E} \delta_{ij} \delta_{kl} + \frac{1+\nu}{E} \Delta_{ijkl}, \quad J_{IJKL} = \frac{E\nu}{1-\nu^2} \delta_{IJ} \delta_{KL} + \frac{E}{1+\nu} \Delta_{IJKL}$$

Коэффициенты a_{IJ} , a_{IJK} , a_{IJKL} представляются следующими формулами:

$$\begin{aligned} a_{IJ} &= -\frac{\nu}{1-\nu} \delta_{IJ}, \quad a_{IJK} = 0 \\ a_{IJKL} &= \left[\frac{E\nu}{1-\nu} \delta_{IJ} \delta_{KL} + \frac{E}{1+\nu} \Delta_{IJKL} \right] \int_{-1/2}^{x_3} \frac{x_3 - y}{E(y)} dy \end{aligned}$$

В случае изотропного, неоднородного по ширине материала операторы \mathbf{L}_{I_1} и $\mathbf{L}_{I_1 I_2 I_3}$ – нулевые, а операторы $\mathbf{L}_{I_1 I_2}$ и $\mathbf{L}_{I_1 I_2 I_3 I_4}$ имеют вид:

$$\begin{aligned} \mathbf{L}_{I_1 I_2}(\Phi_{IJ}) &= \frac{\nu}{1-\nu} \delta_{IJ} \Phi_{I_1 I_2}^{(-2)} - 2J_{IJST}^{-1} \left[\frac{1+\nu}{E} \Phi_{SQ}^{(-1)} \right]^{(-1)} \Delta_{QTI_1 I_2} + J_{IJ_1 I_2}^{-1} \left[\frac{\nu}{E} \Phi_{PP} \right]^{(-2)} \\ \mathbf{L}_{I_1 I_2 I_3 I_4}(\Phi_{IJ}) &= -J_{IJ_1 I_2}^{-1} \left(\frac{1}{E} \Phi_{I_3 I_4}^{(-2)} \right)^{(-2)} \end{aligned} \quad (5.6)$$

Из уравнений (5.5) видно, что не только $\Phi_{IJ} \equiv 0$, но и $\Phi_{IJ_1} \equiv 0$, а

$$\begin{aligned} \Phi_{IJ_1 I_2} &= \mathbf{AL}_{I_1 I_2} A(a_{IJ}) = -\mathbf{AL}_{I_1 I_2} \left[A \left(\delta_{IJ} \frac{\nu}{1-\nu} \right) \right] = -\mathbf{AL}_{I_1 I_2} (\delta_{IJ} A_1) = \\ &= L_1 \delta_{IJ} \delta_{I_1 I_2} + L_2 \Delta_{IJ_1 I_2} \end{aligned} \quad (5.7)$$

$$L_1 = \frac{\nu}{1-\nu} \int_{-1/2}^{x_3} (x_3 - y) A_1(y) dy - \frac{2E\nu}{1-\nu^2} \left\{ \int_{-1/2}^{x_3} \frac{1+\nu}{E} \int_{-1/2}^y A_1(z) dz - \int_{-1/2}^{x_3} \frac{\nu}{E} A_1(y) dy \right\}$$

$$L_2 = -\frac{2E}{1+\nu} \left\{ \int_{-1/2}^{x_3} \frac{1+\nu}{E} \int_{-1/2}^y A_1(z) dz - \int_{-1/2}^{x_3} \frac{\nu}{E} A_1(y) dy \right\}$$

$$A_1 = \frac{\nu}{1-\nu} f_1(x_3) \left\langle \frac{\nu}{1-\nu} \right\rangle - g_1(x_3) \left\langle x_3 \frac{\nu}{1-\nu} \right\rangle$$

$$f_1(x_3) = \frac{1}{\alpha_1} \frac{E(x_3)}{1-\nu(x_3)} \left[\left\langle \frac{x_3^2 E}{1-\nu} \right\rangle - x_3 \left\langle \frac{x_3 E}{1-\nu} \right\rangle \right]$$

$$g_1(x_3) = \frac{1}{\alpha_1} \frac{E(x_3)}{1-\nu(x_3)} \left[x_3 \left\langle \frac{E}{1-\nu} \right\rangle - \left\langle \frac{x_3 E}{1-\nu} \right\rangle \right]$$

$$\alpha_1 = \left\langle \frac{E}{1-\nu} \right\rangle \left\langle \frac{x_3^2 E}{1-\nu} \right\rangle - \left\langle \frac{x_3 E}{1-\nu} \right\rangle^2$$

Функция напряжений в этой задаче примет вид

$$\begin{aligned} F_{IJ} &= \bar{F}_{IJ}^0 + \Phi_{IJKL} q_{KL} = \mathbf{A}(a_{IJ}) q(x_1, x_2) + 2\mathbf{A}(a_{IJKL}) q_{KL} + 2\Phi_{IJKL} q_{KL} = \\ &= \mathbf{A}(a_{IJ}) q_0 + \mathbf{A}(a_{IJ}) x_K q_K + [\mathbf{A}(a_{IJ}) x_K x_L + 2\mathbf{A}(a_{IJKL}) + 2\Phi_{IJKL}] q_{KL} \end{aligned} \quad (5.8)$$

Напряжения при сжатии плиты квадратичной нагрузкой будут определяться по формулам

$$\sigma_{IJ} = F_{IJ}, \quad \sigma_{I3} = - \int_{-1/2}^{x_3} \mathbf{A}(a_{IJ})(y) dy (q_J + q_{JL} x_L) \quad (5.9)$$

$$\sigma_{33} = -q_0 - q_I x_I - q_{IJ} \left[x_I x_J + \int_{-1/2}^{x_3} (x_3 - y) \mathbf{A}(a_{IJ})(y) dy \right]$$

СПИСОК ЛИТЕРАТУРЫ

1. Победра Б.Е. Лекции по тензорному анализу. М.: Изд-во МГУ, 1979. 223 с.
2. Тимошенко С.П., Войновский-Кригер С. Пластинки и оболочки. М.: Наука, 1966. 635 с.
3. Лехницкий С.Г. Анизотропные пластинки. М.: Гостехиздат, 1957. 463 с.
4. Ломакин В.А. Теория упругости неоднородных тел. М.: Изд-во МГУ, 1976. 367 с.
5. Ишлинский А.Ю. Об одном интегродифференциальном соотношении в теории упругой нити (каната) переменной длины // Укр. мат. ж. 1953. Т. 5. № 4. С. 370-374.

Москва

Поступила в редакцию
14.12.2002